Titre: SSNP107 - Plaque en traction-cisaillement: viscoé[...]

Date: 03/08/2011 Page: 1/5 Responsable: Philippe DE BONNIERES Clé: V6.03.107 Révision: 6802

SSNP107 - Plaque en traction-cisaillement : viscoélasticité de Lemaître et écrouissage isotrope

Résumé:

Ce test de mécanique quasi-statique non linéaire consiste à charger en traction-cisaillement une plaque carrée. On valide ainsi l'enchaînement de plusieurs calculs avec alternativement une loi de comportement plastique avec écrouissage isotrope et une loi de comportement viscoélastique de Lemaître, la valeur des variables internes (déformation plastique cumulée et indicateur de charge (décharge) à la fin d'un calcul étant reprise au début du calcul suivant. Le chargement reste radial sur l'ensemble du test.

La plaque est modélisée par un élément volumique (HEXA8).

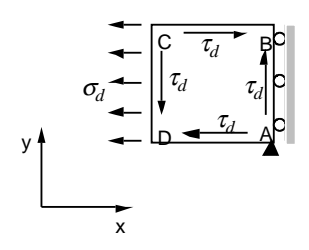
Titre: SSNP107 - Plaque en traction-cisaillement: viscoé[...]

Date: 03/08/2011 Page: 2/5 Responsable: Philippe DE BONNIERES Clé: V6.03.107 Révision: 6802

Problème de référence

Géométrie

Plaque carrée



1.2 Propriétés de matériaux

Ces propriétés varient selon l'intervalle de temps considéré :

1) pour
$$0 \le t \le 30 s$$
 et $3630 \le t \le 3660 s$

$$E = 178600 MPa$$

$$v = 0.3$$

Plasticité avec écrouissage isotrope linéaire :

$$\sigma_v = 120 MPa$$

$$D_SIGM_EPSI = 1930 MPa$$

1) pour
$$30 \le t \le 3630 \, s$$
 et $3660 \le t \le 7260 \, s$

$$E = 178600 \, MPa$$

$$v = 0.3$$

Relation de comportement viscoélastique de Lemaître :

$$n = 11\frac{1}{K} = 810^{-4} (K = 1250)\frac{1}{m} = 0.17857(m = 5.6)$$

1.3 Conditions aux limites et chargements

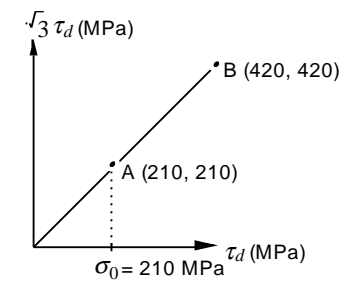
Sur
$$A: u_x = u_v = 0$$

Sur le côté
$$AB$$
 : $u_x = 0$

Chargement ci-dessous (
$$t=0$$
 en 0)

Trajets
$$OA$$
 et AB , de durée 30 secondes.

Temps de maintien en A et B de 3600 secondes.



Révision: 6802

Date: 03/08/2011 Page: 3/5

Clé: V6.03.107

Titre: SSNP107 - Plaque en traction-cisaillement: viscoé[...]

Responsable : Philippe DE BONNIERES

2 Solution de référence

2.1 Méthode de calcul utilisée pour la solution de référence

Intégration explicite : la déformation plastique cumulée p s'écrit :

$$\dot{a} \ t = 30s \ : \qquad \qquad p = \frac{\sigma_0 \sqrt{2} - \sigma_y}{R}$$

$$30 \le t \le 3630 : \qquad p = \left[\left(\frac{\sigma_0 \sqrt{2}}{K} \right)^n \frac{n+m}{m} (t-30) + \left(\frac{\sigma_0 \sqrt{2} - \sigma_y}{R} \right)^{\frac{n+m}{m}} \right]^{\frac{m}{n+m}}$$

$$\dot{a} t = 3660s : \qquad p = \frac{2\sigma_0 \sqrt{2} - \sigma_y}{R}$$

$$3660 \le t \le 7260 : \quad p = \left[\left(\frac{2\sigma_0 \sqrt{2}}{K} \right)^n \frac{n+m}{m} (t - 3660) + \left(\frac{2\sigma_0 \sqrt{2} - \sigma_y}{R} \right)^{\frac{n+m}{m}} \right]^{\frac{m}{n+m}}$$

$$\text{avec } R = \frac{E.\text{D_SIGM_EPSI}}{E-\text{D_SIGM_EPSI}}$$

A tout instant t, on a:

$$\varepsilon_{p}(t) = p \frac{\sqrt{2}}{2} \begin{pmatrix} 1 & \frac{\sqrt{3}}{2} & 0 \\ \frac{\sqrt{3}}{2} & -\frac{1}{2} & 0 \\ 0 & 0 & -\frac{1}{2} \end{pmatrix}$$

2.2 Résultats de référence

 ε_{p-xx} et ε_{p-xy} aux instants $t=3630\,s$, $t=3660\,s$ et $t=3720\,s$

2.3 Incertitude sur la solution

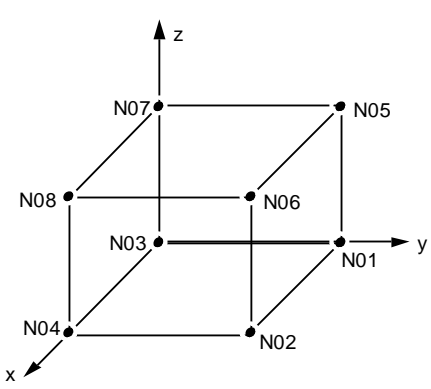
Aucune solution analytique.

Titre: SSNP107 - Plaque en traction-cisaillement: viscoé[...]

Date: 03/08/2011 Page: 4/5 Responsable: Philippe DE BONNIERES Clé: V6.03.107 Révision: 6802

Modélisation A 3

3.1 Caractéristiques de la modélisation



Tous les champs étant uniformes (indépendants de l'espace), on prend un HEXA8 et le calcul est néanmoins équivalent à celui d'une plaque en contraintes planes.

Le chargement et les conditions aux limites sont modélisés par :

- des conditions de blocage adaptées à la fois pour empêcher tout mouvement de corps rigide et permettre l'uniformité des champs,
- des forces nodales :

$$\text{FX: } -\frac{1}{4}\sigma_{\text{d}}\big(\text{t}\big) \text{ , } \text{FY: } -\frac{1}{4}\tau_{\text{d}}\big(\text{t}\big)$$

sur les nœuds 1, 3, 5, 7

FX:
$$-\frac{1}{4}\tau_{d}(t)$$

sur les nœuds 3, 4, 7, 8

$$FY: \frac{1}{4}\tau_{d}(t)$$

sur les nœuds 2, 4, 6, 8

$$FX: \frac{1}{4}\tau_d(t)$$

sur les nœuds 1, 2, 5, 6

3.2 Caractéristiques du maillage

Nombre de nœuds :

Nombre de mailles et types :

1 HEXA8

3.3 Grandeurs testées et résultats

Variables	Instants (s)	Référence	Aster	% différence
ε_{p-xx}	3630	9.06364 10-2	9.06373 10-2	0.001
ε_{p-xy}	3630	7.84935 10 ⁻²	$7.84942\ 10^{-2}$	0.001
ε_{p-xx}	3660	1.71775 10 ⁻¹	1.717749 10 ⁻¹	7.69 10 ⁻⁵
ε_{p-xy}	3660	1.48761 10 ⁻¹	1.48761 10 ⁻¹	2.68 10 ⁻⁴
ε_{p-xx}	3720	2.80733 10 ⁻¹	2.80909 10 ⁻¹	0.063
$\boldsymbol{\varepsilon}_{p-xy}$	3720	2.43122 10 ⁻¹	2.43274 10 ⁻¹	0.063

Titre : SSNP107 - Plaque en traction-cisaillement : viscoé[...]

Responsable : Philippe DE BONNIERES

Date : 03/08/2011 Page : 5/5 Clé : V6.03.107 Révision : 6802

4 Synthèse des résultats

Les résultats obtenus par Code_Aster sont très proches de la solution de référence.